

## ارزیابی ثبات لیزوژومی و شکنندگی غشاء سلول گلبول قرمز خون ماهی گل خورک (*Boleophthalmus dussumieri*) به عنوان نشانگر زیستی هیدروکربن های

### آروماتیک چند حلقه‌ای

محمود سینایی<sup>(۱)\*</sup>؛ پیمان اقتصادی عراقی<sup>(۲)</sup>؛ علی ماشینچیان<sup>(۳)</sup>؛ سید محمد رضا فاطمی<sup>(۴)</sup> و  
غلامحسین ریاضی<sup>(۵)</sup>

[oceanography.sina@gmail.com](mailto:oceanography.sina@gmail.com)

۱-دانشگاه آزاد اسلامی، واحد علوم و تحقیقات تهران، گروه بیولوژی دریا، تهران، ایران

۲-موسسه ملی اقیانوس شناسی، تهران

۳-دانشگاه آزاد اسلامی، واحد علوم و تحقیقات تهران، گروه شیمی دریا، تهران، ایران

۵-مرکز تحقیقات بیوشیمی و بیوفیزیک، دانشکده زیست شناسی، دانشگاه تهران، ایران

تاریخ دریافت: مرداد ۱۳۹۱  
تاریخ پذیرش: تیر ۱۳۹۲

### چکیده

این مطالعه به منظور بررسی برخی پاسخ های فیزیولوژیک ماهی گل خورک گونه *Boleophthalmus dussumieri* به عنوان نشانگر زیستی هیدروکربن های آروماتیک چند حلقه ای (PAHs) صورت گرفته است. نمونه برداری از پنج ایستگاه (اروند، جعفری، زنگی، سمایلی و بحر کان) و در طول سواحل شمال غرب خلیج فارس (سواحل خوزستان) صورت گرفته است. میزان غلظت PAHs توسط دستگاه HPLC و تغییرات غشاء لیزوژوم توسط تست NRRT و میزان پایداری غشاء لیزوژوم توسط تست میزان پایداری گلبول قرمز آنالیز گردید. میزان غلظت کل PAHs در نمونه های رسوب بین ۱۱۳/۵۰-۳۳۸۴/۳۴ نانوگرم در گرم وزن خشک و در بافت کبد بین ۳/۹۹-۴۶/۶۴ نانوگرم در گرم وزن خشک بود. بیشترین میزان آلودگی در بافت کبد و رسوبات در ایستگاه جعفری و کمترین آن در ایستگاه بحر کان مشخص گردید. اختلاف معنی داری بین آنها یافت گردید. کمترین میزان میانگین RT نمونه های خون ماهی گل خورک در ایستگاه جعفری (۳۶ دقیقه) و بیشترین آن در ایستگاه بحر کان (۷۸ دقیقه) ثبت گردید. میانگین RT بین ایستگاه های نمونه برداری به جز ایستگاه اروند با زنگی، اختلاف معنی داری را نشان می دهد. منحنی میزان تغییرات در پایداری غشاء گلبول قرمز ماهی گل خورک نسبت به شبیه غلظتی نمک (منحنی EOF) در ایستگاه های مختلف نمونه برداری نشان می دهد که غشاء گلبول قرمز ماهیان صید شده از ایستگاه جعفری در مقایسه با دیگر ایستگاه ها قوام و پایداری کمتری دارد که ایستگاه های زنگی <اروند> سمایلی > و بحر کان از این نظر در رتبه های بعدی قرار دارند. نتایج این تحقیق می تواند استفاده از ثبات لیزوژوم و همچنین پایداری غشاء سلول گلبول قرمز را به عنوان نشانگرهای زیستی در طرح های پایش آلودگی نفتی گسترش دهد.

**کلمات کلیدی:** آلینده های نفتی، گاو ماهیان، خلیج فارس

\*نویسنده مسئول

## مقدمه

سلول است. این تست در واقع توانایی غشاء سلول های گلبول قرمز خون را در حفظ میزان پایداری و قوام خود در برابر شوک آسمزی را مورد بررسی قرار می دهد.

لیزوژوم به عنوان مقصد نهایی بسیاری از عوامل آلاینده محسوب می گردد. قسمت های مختلف لیزوژوم نسبت به ورود آلاینده حساس بوده و واکنش نشان می دهند. یکی از تغییرات مشخص و بارز، افزایش تردی و ناپایداری غشاء لیزوژوم است (Martínez-Gómez *et al.*, 2006). آسیب به غشاء لیزوژوم می تواند موجب رهاسازی محتويات آن به درون سیتوزول گردد که این امر در نهایت ساختار و عملکرد سلول تاثیر گذار است. از این رو پایداری غشاء لیزوژوم از شاخص های مناسب در تعیین سطح سلامت و یا آسیب سلول محسوب می گردد. این تغییرات در سطح درون سلولی را می توان به عنوان نشانگرهای اولیه از ورود عوامل آلاینده در نظر گرفت (Dailianis *et al.*, 2003).

Lowe و همکاران در سال ۱۹۹۲ روشی را تحت عنوان میزان پایداری غشاء لیزوژوم بر اساس ظرفیت جذب، نگهداری و دفع ماده رنگی قرمز خنثی (Neutral Red Retention time) NRRT توسط لیزوژوم معرفی کردند. این روش میزان خروج محتوای لیزوژوم به درون سیتوزول را در موجوداتی که در معرض استرس و یا عوامل آلاینده قرار دارند نشان می دهد. این روش همچنین می تواند ظرفیت پروسه های سلولی را در سازگاری نسبت به عوامل استرس زا را نشان دهد (Dailianis *et al.*, 2003).

مهم ترین اهداف این تحقیق عبارتند از:

- ۱- بررسی میزان آسودگی هیدروکربن های آروماتیک چند حلقه ای در ماهی گل خورک گونه *Boleophthalmus dussumieri*
- ۲- ارزیابی استفاده از پاسخ های فیزیولوژیک ماهی به عنوان نشانگر زیستی در پایش زیست محیطی
- ۳- و مقایسه پاسخ های فیزیولوژیک ماهی گل خورک نسبت به حضور هیدروکربن های آروماتیک چند حلقه ای در ایستگاه های مختلف

ترکیبات هیدروکربن های آروماتیک چند حلقه ای از طریق رودخانه، مصب، آب های ساحلی و اتمسفر وارد اکوسیستم های دریایی می گردد. این ترکیبات توسط ماهی و سایر ارگانیسم های دریایی از طریق غذای مصرفی، آب و رسوبات جذب می شوند. انواع گونه های ماهی با تغییر و یا اصلاح عملکرد متابولیک خود نسبت به ورود ترکیبات آلاینده واکنش نشان می دهند (Ali *et al.*, 2008). بر این اساس ماهیان می توانند گونه مناسبی در استفاده به عنوان شاخص زیستی مطرح باشد (Sinaei *et al.*, 2010). نشانگرهای زیستی سطح سلامت ماهی را در سطوح پایین زیستی (سطح بیوشیمیابی یا سلولی) نشان می دهند. استفاده از نشانگرهای زیستی در مباحث سمشناسی دارای اهمیت و ارزش بسزایی است و میزان سطوح آلودگی در اکوسیستم های آبی را می توان با بررسی آنها مورد ارزیابی قرار داد (Pandey *et al.*, 2003).

ماهی گل خورک (*Boleophthalmus dussumieri*) از خانواده گاوماهیان به عنوان یک ماهی دوزیست به میزان قابل توجهی جهت زندگی در سواحل و در مناطق بین جزر و مدی سازگاری پیدا کرده است. گل خورک های ماهیانی کوچک هستند که در خوبیات و سواحل مناطق گرمسیری به وفور یافت می شوند که بیشتر دوران زندگی خود را در نقب هایی که درون رسوبات گلی حفر می کنند، می گذرانند (Polgar, 2010).

غشاء سلول به دلیل دارا بودن میزان زیاد چربی مقصده مناسبی برای آلاینده های چربی دوست محسوب می گردد. این عوامل، در کنار راحتی و سهولت در دستیابی و جداسازی سلول های گلبول قرمز، این سلول ها را مدل مناسبی برای مطالعه اثرات عوامل آلاینده به ویژه آلاینده های چربی دوست بر غشاهای زیستی قرار می دهد (Abdel-Raheem *et al.*, 2009).

تاثیرات مستقیم و یا غیر مستقیم عوامل آلاینده بر ساختار، پایداری و سیالیت غشاء سلول های گلبول قرمز خون ماهی در نهایت می تواند منجر به همولیز (تخرب یا شکسته شدن غشاء گلبول قرمز و آزاد شدن هموگلوبین به پلاسمای خون) این سلول ها گردد. یکی از روش های کم هزینه ولی با کارآیی بالا در کسب اطلاعات پیرامون ساختار و ترکیبات غشاء و تاثیر عوامل آلاینده بر آن تست میزان پایداری (Osmotic Fragility Test:EOF) غشاء

## مواد و روش کار

جغرافیایی و دلایل انتخاب ایستگاهها در جدول ۱ نشان داده شده است.

نمونهبرداری از پنج ایستگاه واقع در سواحل شمال غرب خلیج فارس (سواحل خوزستان) انجام گردید (شکل ۱). موقعیت

جدول ۲: موقعیت ایستگاههای نمونهبرداری در شمال غرب خلیج فارس

ایستگاه نمونه	موقعیت	عرض جغرافیایی طول جغرافیایی	دلیل انتخاب
اروند(St1)	۴۸° ۴۰' ۵۸"E ۲۹° ۵۴' ۳۵"N		پالایشگاه آبادان
جعفری(St2)	۴۹° ۰۶' ۵۲"E ۳۰° ۲۶' ۵۲"N		منطقه ویژه اقتصادی، نفتی و صنایع پتروشیمی
زنگی(St3)	۴۹° ۰۳' ۵۲"E ۳۰° ۲۸' ۵۲"N		صنایع پتروشیمی، بندرگاه
سمایلی(St4)	۴۹° ۱۰' ۵۱"E ۳۰° ۲۷' ۴۵"N		بندرگاه و اسکله شناورهای صیادی، مخازن ذخیره نفتی
بحرکان(St5)	۴۹° ۵۰' ۵۴"E ۳۰° ۰۸' ۱۴"N		ایستگاه شاهد

آزمایشات بعدی از طریق ایجاد سوراخ در قلب ماهی گل خورک گرفته شد. در یک مرحله، خون توسط سرنگ های هپارینه به روش فوق گرفته و جهت سنجش میزان پایداری گلبلو قرمز به میکروتیوب های هپارینه منتقل گردید. در مرحله دیگری، خون ماهی توسط سرنگ های که از قبل به میزان  $0/1$  میلی لیتر توسط سرم فیزیولوژیک پر شده بود گرفته و جهت سنجش میزان تغییرات غشاء گلبلو قرمز به روش NRR time به لوله های میکروتیوب منتقل گردید. لوله های مربوط به تست NRR time به مدت پانزده دقیقه قبل از آزمایش درون یخچال نگهداری گردید. بلافضله پس از خونگیری، بافت کبد ماهی در روی یخ جدا و به دو بخش تقسیم گردید. بافت کبد جهت سنجش میزان هیدروکربن های آروماتیک چند حلقه ای جداسازی و در دمای  $-20$  درجه سانتیگراد تا زمان آنالیز نگهداری گردید.

جهت استخراج ترکیبات هیدروکربن های آروماتیک چند حلقه ای از نمونه های رسوب از روش توصیه شده توسط Moopam (۱۹۹۹) و جهت استخراج این ترکیبات در نمونه های بافت ماهی از روش توصیه شده توسط Perugini و همکاران (۲۰۰۷) استفاده گردید. آنالیز میزان غلظت هیدروکربن های آروماتیک چند حلقه ای در نمونه های رسوب و بافت ماهی از دستگاه HPLC مدل 1100 Hewlett-Packard

نمونهبرداری از ماهی گل خورک گونه *B. dussumieri* به چند روش و با حداقل آسیب و استرس به ماهی صورت گرفت. ماهیان با استفاده از تور پرتالی، تور ساچوک، صید مستقیم به وسیله دست و یا روش کردن چراغ در خلال شب (منجر به جمع شدن ماهی به اطراف چراغ شده که صید آنها را راحت تر می کند) در ایستگاههای نمونهبرداری انجام شد. از هر ایستگاه تعداد  $50$  عدد ماهی صید گردید. ماهی گل خورک (نسبت جنسی  $1:1$ ) درون تانک های  $30$  لیتری و تحت شرایط درجه حرارت  $25/2\pm 0/2$  درجه سانتیگراد و شوری ppt  $38$ ، ضمن هواهدهی به آزمایشگاه منتقل گردید.

نمونه های رسوب در محل صید ماهیان از  $8$  سانتیمتر بالای رسوبات و از پنج نقطه در هر ایستگاه جمع آوری و در سینی استنیل تمیز قرار گرفت. به وسیله یک قالش قائم مکعبی به عمق  $5$  سانتیمتر از سطح رسوب برداشته و در فویل های آلومینیومی پیچیده و برچسب گذاری شد. نمونه های رسوب در یخ تا آزمایشگاه حمل و در دمای  $-20$  درجه سانتیگراد تا زمان سنجش ترکیبات هیدروکربن های آروماتیک چند حلقه ای نگهداری گردید. در آزمایشگاه ماهیان توسط عصاره پودر گل میخک بیهوش و عملیات زیست سنجی جهت تعیین طول و وزن ماهیان صورت پذیرفت. نمونه های خون ماهی جهت انجام

رگرسیون خطی و همبستگی اسپیرمن استفاده شد و معادله رگرسیونی آن به دست آمد.

## نتایج

میانگین طول و وزن ماهیان گل خورک صید شده به ترتیب  $17 \pm 0.1$  سانتیمتر و  $16 \pm 0.2$  گرم بود. جدول ۲ مقادیر ثبت شده از میزان تجمع زیستی هیدروکربن‌های آروماتیک چند حلقه‌ای در رسوبات و بافت کبد ماهی در ایستگاه‌های مختلف نمونه برداری نشان داده است. در نتایج مربوط به مجموع ۱۶ تایی ترکیبات هیدروکربن‌های آروماتیک چند حلقه‌ای ( $\Sigma 16\text{PAH}$ ) در بافت کبد و رسوبات، ایستگاه جغرافی بیشترین میزان را نشان می‌دهد که ایستگاه‌های زنگی > ارونده > سمایلی > بحرکان از این حیث در رتبه‌های بعدی قرار دارند.

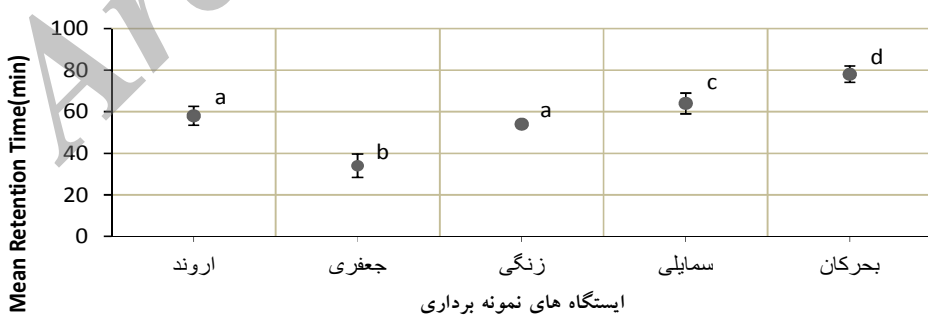
نتایج مربوط به میانگین NRR time نمونه‌های خون ماهی گل خورک در ایستگاه‌های نمونه برداری در نمودار ۱ نشان داده است. میانگین RT مربوط به سی نمونه خون ماهی گل خورک به عنوان شاخص هر ایستگاه مدل نظر قرار گرفت. میانگین RT نمونه‌های خون ماهی گل خورک در تمامی ایستگاه‌های نمونه برداری پایین تر از ۹۰ دقیقه بود. کمترین میزان میانگین RT نمونه‌های خون ماهی گل خورک در ایستگاه جعفری (۳۴ دقیقه) و بیشترین آن در ایستگاه بحرکان (۷۸ دقیقه) ثبت گردید. میانگین RT بین ایستگاه‌های نمونه برداری به جز ایستگاه ارونده با زنگی، اختلاف معنی‌داری را نشان می‌دهد ( $P < 0.05$ ).

گردید. تمام شرایط تزریق نمونه‌های بافتی ماهی شبیه نمونه‌های رسوبر است با این تفاوت که در نمونه‌های بافتی از دتکتور های فلوروسانس به جای دتکتور UV استفاده گردید.

سنجد میزان تغییرات در پایداری غشاء لیزوژوم در نمونه‌های خون ماهی گل خورک از روش توصیه شده توسط ICES در سال ۲۰۰۴ و همچنین UNEP/RAMOG در ۱۹۹۹ استفاده گردید. در بررسی اسلامیدها در زیر میکروسکوپ عالمی نظیر ترشح لیزوژوم به درون سیتوزول، هرگونه تغییر در سایز و رنگ لیزوژوم و شکل سلول جهت تعیین میزان RT (Retention Time) مدنظر قرار گرفت.

در این بررسی، سنجد میزان تغییرات در پایداری غشاء گلبول قرمز با استفاده از تست میزان پایداری غشاء گلبول قرمز (EOF) در نمونه‌های خون ماهی گل خورک از روش توصیه شده توسط Aldrich و Saunders (۲۰۰۰) استفاده گردید.

تجزیه و تحلیل آماری داده با نرم‌افزار SPSS Version19 (ANOVA) انجام پذیرفت. از طرفه جهت تعیین وجود و یا عدم وجود اختلاف معنی‌دار بین داده‌ها استفاده شد. جهت تعیین دقیق وجود یا عدم وجود تفاوت معنی‌دار از پس آزمون Tukey استفاده شد. اختلاف بین میانگین داده در سطح معنای ۵ درصد مورد ارزیابی قرار گرفت. برای تعیین وجود ارتباط خطی و میزان آن بین مقادیر تجمع زیستی هیدروکربن‌های آروماتیک چند حلقه‌ای و نشانگرهای زیستی در بافت‌های ماهی از آزمون



نمودار ۱: میانگین RT نمونه‌های خون ماهی گل خورک در ایستگاه‌های نمونه برداری  
اعداد مشابه نشان دهنده عدم وجود اختلاف معنی‌دار هستند

جدول ۲: میانگین  $\pm$  انحراف معیار مجموع کل PAHs در بافت کبد(نانوگرم در گرم وزن خشک بدن) و رسوبات(نانوگرم در گرم وزن خشک بدن) ایستگاههای مختلف نمونه برداری

PAHs	نمونه	ایستگاه اروند	ایستگاه جعفری	ایستگاه زنگی	ایستگاه سمایلی	ایستگاه بحرکان
N	S	ND	ND	ND	ND	ND
	L	ND	ND	ND	ND	ND
AC	S	۱۳/۲۹۷ $\pm$ ۱/۴۵ <sup>a</sup>	۱۳۲/۱۱۲ $\pm$ ۹/۹ <sup>b</sup>	۷۴/۹۰۳ $\pm$ ۶/۰۱ <sup>c</sup>	۱/۹۷۹ $\pm$ ۰/۴۶ <sup>d</sup>	ND
	L	۳/۵۳۲ $\pm$ ۰/۴۹ <sup>a</sup>	۴/۳۸۱ $\pm$ ۰/۵۴ <sup>a</sup>	۱/۸۲۹ $\pm$ ۰/۱۷۷ <sup>b</sup>	۲/۲۳۳ $\pm$ ۰/۰۵ <sup>b</sup>	ND
ACE	S	ND	ND	ND	ND	ND
	L	ND	ND	ND	ND	ND
F	S	۴۴/۰۰۵ $\pm$ ۱/۵۹ <sup>a</sup>	۱۷/۳۵۳ $\pm$ ۱/۴۸ <sup>b</sup>	۳/۳۲۴ $\pm$ ۰/۷۹ <sup>c</sup>	۴/۳۱۹ $\pm$ ۰/۶۹ <sup>c</sup>	۴/۶۹۸ $\pm$ ۰/۶۹ <sup>c</sup>
	L	۲/۴۷۱ $\pm$ ۰/۰۵ <sup>a</sup>	۱/۰۵۱ $\pm$ ۰/۱۳۲ <sup>b</sup>	۰/۵۵۸ $\pm$ ۰/۰۸۳ <sup>b</sup>	۰/۶۶۰ $\pm$ ۰/۰۹۵ <sup>c</sup>	ND
Ph	S	۲۰/۹۸۹ $\pm$ ۲/۷۶۹ <sup>a</sup>	۶۳۲/۶۸۲ $\pm$ ۲۷/۷۷ <sup>b</sup>	۲۳/۲۲۹ $\pm$ ۲/۶۹ <sup>a</sup>	۲۶/۸۶۱ $\pm$ ۳/۰۰۳ <sup>a</sup>	۱۵/۴۳۸ $\pm$ ۱/۶۴ <sup>a</sup>
	L	۳/۵۷۶ $\pm$ ۰/۶۷۶ <sup>a</sup>	۰/۸۲۶ $\pm$ ۹/۲۶۵ <sup>b</sup>	۲/۶۱۹ $\pm$ ۰/۴۶۹ <sup>a</sup>	۳/۰۷۲۳ $\pm$ ۰/۶۲۵ <sup>a</sup>	۱/۰۵۳ $\pm$ ۰/۳۳ <sup>e</sup>
A	S	ND	ND	ND	ND	ND
	L	ND	ND	ND	ND	ND
Fl	S	۵/۱۶۴ $\pm$ ۰/۲۳۷ <sup>a</sup>	۱۷۸/۹۷۵ $\pm$ ۹/۳۸ <sup>b</sup>	۲۹/۵۴۶ $\pm$ ۳/۰۰۱ <sup>c</sup>	۱۷/۴۴۵ $\pm$ ۲/۴۳۲ <sup>d</sup>	۱۴/۲۸۹ $\pm$ ۱/۷۴ <sup>d</sup>
	L	۱/۰۱۹ $\pm$ ۰/۴۲۵ <sup>a</sup>	۳/۲۲۲ $\pm$ ۰/۷۶۳ <sup>b</sup>	۱/۰۳۶ $\pm$ ۰/۴۲۱ <sup>a</sup>	۴/۱۱۹ $\pm$ ۰/۳۳۷ <sup>db</sup>	ND
Py	S	۱۱۴/۲۶۰ $\pm$ ۴/۶۴۵ <sup>a</sup>	۱۲۶/۰۵۱ $\pm$ ۷/۹۷۹ <sup>a</sup>	۴۲۶/۰۱۵ $\pm$ ۱۴/۵۵ <sup>b</sup>	۷۱/۳۹۸ $\pm$ ۶/۰۷۴ <sup>c</sup>	۲۸/۴۷۶ $\pm$ ۳/۴۶ <sup>d</sup>
	L	۵/۶۳۴ $\pm$ ۰/۸۳۰ <sup>a</sup>	۲/۱۶۸ $\pm$ ۰/۴۶۸ <sup>b</sup>	۹/۵۸۶ $\pm$ ۱/۰۳ <sup>c</sup>	۱۳/۲۹۶ $\pm$ ۰/۶۷۶ <sup>b</sup>	۲/۹۳۲ $\pm$ ۰/۷۹۲ <sup>b</sup>
B(a)A	S	۶۲۳/۲۰۱ $\pm$ ۱۸/۱۶ <sup>a</sup>	۱۱۳۲/۵۶۲ $\pm$ ۵۹/۹۲۳ <sup>b</sup>	۶۴۹/۱۵۱ $\pm$ ۲۰/۰۶ <sup>a</sup>	۱۸۸/۶۲۳ $\pm$ ۸/۳۸۸ <sup>cd</sup>	۳۳/۲۲۰ $\pm$ ۳/۷۷۹ <sup>d</sup>
	L	۵/۲۷۵ $\pm$ ۱/۱۱۰ <sup>a</sup>	۱۴/۴۶۰ $\pm$ ۲/۹۳۱ <sup>b</sup>	۷/۱۵۳ $\pm$ ۱/۴۵۱ <sup>c</sup>	ND	ND
Ch	S	۳۳۰/۰۵۷۹ $\pm$ ۱۶/۰۵ <sup>a</sup>	۷۶۰/۷۰۶ $\pm$ ۷/۲۸ <sup>b</sup>	۳۰/۷۶۹۵ $\pm$ ۱۴/۰۹ <sup>a</sup>	۴۰/۲۹۹۹ $\pm$ ۳/۲۴۵ <sup>cd</sup>	۱۷/۳۷۹ $\pm$ ۱/۴۹۱ <sup>d</sup>
	L	۴/۱۱۰ $\pm$ ۰/۶۲۷ <sup>a</sup>	۹/۸۲۸ $\pm$ ۱/۲۷ <sup>b</sup>	۴/۰۹۷ $\pm$ ۰/۸۹۷ <sup>a</sup>	ND	ND
B(b)Fl	S	۲۶/۲۶۰ $\pm$ ۳/۰۰۳ <sup>a</sup>	۵۹/۸۱۳ $\pm$ ۴/۱۲ <sup>b</sup>	۱۱۱/۲۷۷ $\pm$ ۷/۹۰۱ <sup>c</sup>	ND	ND
	L	۰/۷۵۰ $\pm$ ۰/۱۸۳ <sup>a</sup>	ND	۳/۰۳۶ $\pm$ ۰/۸۴۷ <sup>b</sup>	ND	ND
B(k)Fl	S	۲۷/۹۶۸ $\pm$ ۳/۷۲۱ <sup>a</sup>	۴۱/۵۳۲ $\pm$ ۴/۱۹۸ <sup>b</sup>	۷۲/۸۳۳ $\pm$ ۴/۸۵۴ <sup>c</sup>	ND	ND
	L	ND	ND	ND	ND	ND
B(a)Py	S	۲۴۰/۰۵ $\pm$ ۱۲/۴۹۴ <sup>a</sup>	۳۰/۲۵۵۷ $\pm$ ۴/۱۸۱ <sup>b</sup>	۱۹۹/۶۳۶ $\pm$ ۷/۲۰۶ <sup>c</sup>	ND	ND
	L	۳/۳۰۷ $\pm$ ۰/۱۸۷ <sup>a</sup>	۲/۲۶۳ $\pm$ ۰/۶۸۷ <sup>b</sup>	۲/۳۰۰۳ $\pm$ ۰/۵۲۴ <sup>b</sup>	ND	ND
IPy	S	ND	ND	ND	ND	ND
	L	ND	ND	ND	ND	ND
DB(ah)A	S	ND	ND	ND	ND	ND
	L	ND	ND	ND	ND	ND
B(ghi)Pe	S	ND	ND	ND	ND	ND
	L	ND	ND	ND	ND	ND
$\Sigma$ PAH	S	۱۴۴۶/۳۲۲ $\pm$ ۲۰۰/۹۵۰*	۳۳۸۴/۳۴۰ $\pm$ ۳۷۶/۹۴۶*	۱۹۰۷/۸۱۰ $\pm$ ۲۱۰/۴۸۶*	۲۶۰/۸۲۰ $\pm$ ۶۵۰/۰۲۸	
	L	۲۹/۶۷۵ $\pm$ ۱/۶۷۸ <sup>a</sup>	۴۶/۶۴۰ $\pm$ ۴/۷۸۲ <sup>b</sup>	۳۲/۲۲۰ $\pm$ ۲/۹۷۱ <sup>a</sup>	۳/۹۹ $\pm$ ۱/۳۲۸ <sup>d</sup>	

حروف مشابه نشان دهنده عدم وجود اختلاف معنی دار در ردیف است ( $P > 0.05$ ). <sup>\*</sup> نشان دهنده اختلاف معنی دار در ردیف است ( $P < 0.05$ ).

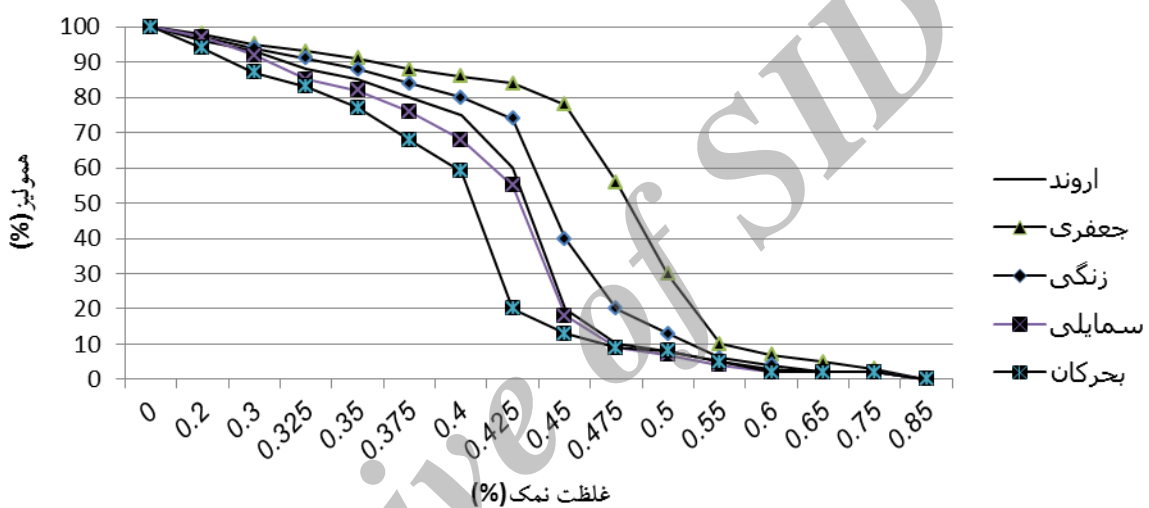
ND: Non Detected; L: کبد؛ S: رسوب؛

قرمز ماهیان صید شده از ایستگاه جعفری در مقایسه با دیگر ایستگاهها قوام و پایداری کمتری دارد (بسیار شکننده و ترد است) که ایستگاههای زنگی < ارونده > سمایلی < و بحرکان از این

منحنی میزان تغییرات در پایداری غشاء گلبول قرمز ماهی گل خورک نسبت به شب غلظتی نمک (منحنی EOF) در ایستگاههای مختلف نمونه برداری نشان می‌دهد که غشاء گلبول

همان طور که در جدول ۴ نشان داده شده است، نتایج نشان دهنده وجود رابطه معنی داری قوی بین میزان غلظت هیدروکربن های آروماتیک چند حلقه ای در رسوب و بافت کبد ماهی گل خورک با نشانگر های زیستی (تغییرات غشاء لیزوژوم و میزان پایداری غشاء سلول گلبول قرمذخون ماهی گل خورک) است ( $P<0.01$ ).

نظر در رتبه های بعدی قرار دارند (نمودار ۲). میانگین میزان تغییر در مقادیر ثبت شده از میزان جذب هموگلوبین سلول های لیز شده در طول موج ۳۴۰ نانومتر توسط دستگاه اسپکتروفوتومتر در جدول ۳ نشان داده شده است. نتایج بررسی نشان می دهد که میزان پایداری غشاء گلبول قرمذ ماهی گل خورک در ایستگاه های مختلف نمونه برداری با یکدیگر اختلاف معنی داری دارند ( $P<0.05$ ).



نمودار ۲: نمودار EOF ماهی گل خورک در ایستگاه های مختلف نمونه برداری  
جدول ۳: میزان EOF بدست آمده در ایستگاه های نمونه برداری

ایستگاه نمونه برداری	EOF(n=۳۰)
اروند	$0.439 \pm 0.041^a$
جعفری	$0.542 \pm 0.032^b$
زنگی	$0.462 \pm 0.051^c$
سامایلی	$0.420 \pm 0.060^d$
بحرکان	$0.379 \pm 0.042^e$

اعداد مشابه نشان دهنده عدم وجود اختلاف معنی دار است.

جدول ۴: رابطه بین غلظت هیدروکربن های آروماتیک چند حلقه ای در رسوب و بافت کبد ماهی گل خورک با نشانگر های زیستی

	<b>NRRT</b>	<b>EOF</b>	<b>Liver PAHs</b>	<b>Sediment</b>
NRR time	-	0/953	0/949	0/949
EOF	-	-	0/927	0/927
Liver PAHs	-	-	-	1/00
Sediment PAHs	-	-	-	-

## بحث

کیفی رسوب که توسط سازمان NOAA (۴۰۲۲ نانوگرم در گرم وزن خشک بدن) ارائه گردیده است کمتر است. این مسئله نشان دهنده کمتر بودن میزان آلودگی ترکیبات هیدروکربن های آروماتیک چند حلقه ای در ایستگاههای نمونه برداری واقع شده در رسوبات سواحل شمال غرب خلیج فارس از استانداردهای جهانی نظیر NOAA است.

نتایج این بررسی نشان می دهد که ورود یا تجمع ترکیبات هیدروکربن های آروماتیک چند حلقه ای و متابولیت آنها به درون سلول روی میزان پایداری غشاء لیزوژوم ماهی گل خورک تاثیرگذار بوده است. آزمایشات دقیق روی غشا لیزوژوم توسط روشهای آزمایشگاهی در سلولهای خونی به عنوان یکی از انواع سلولهایی که غنی از لیزوژوم هستند در ارزیابی اثرات ناشی از عوامل آراینده در اکوسیستم های دریایی کمک بسزایی می نمایند (Lowe *et al.*, 1995; Catsiki *et al.*, 2001). لیزوژوم به عنوان یک اندامک درون سلولی که توسط غشاء احاطه شده است دارای آنزیم های هیدرولیتیک است که در تجزیه مواد درون سلول یا موادی که از خارج سلول جذب می شوند (نظیر آراینده ها) نقش ایفا می کند (D.W.T, 2004). براین اساس لیزوژوم توپانی جذب آراینده های آلی نظیر هیدروکربن های آروماتیک چند حلقه ای را دارد. تغییر بر میزان پایداری و قوام غشاء لیزوژوم همچنین می تواند بر عملکرد پمپ های یونی لیزوژوم و همچنین میزان حجم لیزوژوم تاثیرگذار باشد (D.W.T, 2004).

به نظر می رسد غلظت های مختلف آلودگی هیدروکربن های آروماتیک چند حلقه ای در ایستگاههای مختلف نمونه برداری روی عملکرد پمپ های یونی غشا لیزوژوم سلول خونی ماهی گل خورک تاثیرگذار بوده اند. وجود رابطه معنی دار قوی بین تجمع زیستی هیدروکربن های آروماتیک چند حلقه ای و میزان NRRT

در این مطالعه ترکیبی از نشانگر های زیستی جهت ارزیابی پاسخهای فیزیولوژیک ماهی گل خورک گونه *B. dussumieri* به عنوان شاخص زیستی آلودگی و همچنین پایش وضعیت زیست محیطی شمال غرب خلیج فارس (سواحل خوزستان) از لحاظ آلودگی هیدروکربن های آروماتیک چند حلقه ای استفاده شده است. علاوه بر آن رابطه بین نشانگر های زیستی (تفییرات غشاء لیزوژوم و پایداری غشاء گلبول فرمز) و غلظت مجموع ترکیبات هیدروکربن های آروماتیک چند حلقه ای جهت ارزیابی اهمیت و کاربرد نشانگر های زیستی مورد استفاده در پایش زیستی آلودگی این ترکیبات مورد مطالعه و بررسی قرار گرفته است.

در نمونه های بافت کبد بررسی الگوی پراکنش ترکیبات هیدروکربن های آروماتیک چند حلقه ای بیانگر حضور میزان بالای ترکیبات با وزن مولکولی کم (ترکیباتی با ساختار سه و چهار حلقه ای) است. حضور ترکیبات هیدروکربن های آروماتیک چند حلقه ای با وزن مولکولی کم در نمونه های بافت کبد ماهی، می تواند در نتیجه انتقال متابولیک ترکیبات با وزن مولکولی بالا دراین بافت باشد (Meador *et al.*, 1995). بطور کلی ماهی می تواند در حدود ۹۹ درصد از ترکیبات هیدروکربن های آروماتیک چند حلقه ای را در طول ۲۴ ساعت اول جذب به متابولیت تبدیل کند، علاوه براین نیمه عمر زیستی این ترکیبات در انواع مختلف ماهی به کم است (Meador *et al.*, 1995). این عوامل می تواند در تغییر الگوی پراکنش و همچنین میزان این ترکیبات در بافت های مختلف ماهی تاثیرگذار باشد (Perugini *et al.*, 2007).

غلظت مجموع ترکیبات هیدروکربن های آروماتیک چند حلقه ای در ایستگاههای مختلف نمونه برداری از میزان استاندارد

و پایش زیستی اثرات آلودگی به ویژه هیدروکربن های آروماتیک چند حلقه ای در انواع مختلف گونه های ماهی صورت گرفته است. اکثر مطالعات در این زمینه به بررسی اثرات آلودگی روی Bekatas & Ayik, 2010; Sikkema *et al.*, 1995; وجود رابطه معنی دار بین تجمع زیستی هیدروکربن های آروماتیک چند حلقه ای و میزان پایداری غشاء گلبول قرمز (تست EOF) نشان می دهد که این ترکیبات یا تولیدات آنها دارای خاصیت همولیز کننده هستند. بررسی ها در شرایط محیط طبیعی نشان می دهد که تست میزان پایداری غشاء شاخص مناسبی از قرار گیری ماهی گل خورک گونه *B. dussumieri* در معرض آلودگی هیدروکربن های آروماتیک چند حلقه ای است.

## تشکر و قدردانی

نهایت تشکر و قدردانی خود را از مسئولین محترم مرکز تحقیقات شیلات اهواز، موسسه ملی اقیانوس شناسی تهران و آقایان مهندس هاشمی، صحراییان، قدم گاهی، شهابی، ادگی پور و اسدی به دلیل همکاری صمیمانه در طول پروژه ابراز می دارم.

## منابع

- Abdel-Raheem M.S., El-Hussieni Z.M., Ragab N. and Al-Gohary E., 2009.** Study of Erythrocyte Superoxide Dismutase, Plasma Malondialdehyde and Osmotic Fragility test in Psoriasis, 201P.
- Aldrich K. and Saunders D.K., 2000.** Comparison of erythrocyte osmotic fragility among ectotherms and endotherms at three temperatures, Journal of Thermal Biology 26 (2001), pp.179–182.
- Ali F.Kh A.M., El-Shehawi M. and Seehy A., 2008.** Micronucleus test in fish genome: As Sensitive monitor for water pollution. African Journal of Biotechnology, 7(5):606-612.
- Bekatas S. and Ayik O., 2010.** Alteration in

time در نمونه های خون ماهی گل خورک گونه *B. dussumieri* نشان می دهد که میزان NRR time به عنوان شاخص حساس و دقیق از تاثیرات و آسیب های وارد شده به لیزوژوم در ماهی گل خورک است . با در نظر گرفتن نتایج فوق به نظر می رسد میزان NRR time می تواند نشانگر زیستی مناسبی از قرار گیری ماهی گل خورک در معرض ترکیبات هیدروکربن های آروماتیک چند حلقه ای محسوب گردد. استفاده از پایداری غشاء لیزوژوم به عنوان یک نشانگر زیستی غیراختصاصی و مفید جهت بررسی حضور آلینده های آلی به ویژه هیدروکربن های آروماتیک چند حلقه ای به میزان زیادی مورد استفاده قرار گرفته است ( Broeg; Einsporn *et al.*, ;Cajaraville *et al.*, 2000 *et al.*, ;2002 ;Moore *et al.*, 2006a ;Galloway *et al.*, ;2002 ;2002 Schiedek *et al.*, 2006 ;Köhler *et al.*, 2002 ;Wedderburn *et al.*, 2000).

نتایج نشان داد ترکیبات هیدروکربن های آروماتیک چند حلقه ای بر میزان پایداری غشاء گلبول قرمز ماهی گل خورک تاثیر گذار بوده است. از مکانیسم های مهم ورود این ترکیبات به درون سلول، قرار گیری آنها به درون لایه چربی غشاء سیتوپلاسمی است. قرار گیری این ترکیبات در بین چربی های غشاء سیتوپلاسمی (در بین زنجیره های فسفولیپید) می تواند باعث به هم ریختن ساختار غشاء گردد ( Rodrigues *et al.*, , 2011). از سوی دیگر، آلینده های چربی دوست به دلیل اندرکنش غیراختصاصی با چربی های غشاء منجر به افزایش جریان فعال پتانسیم از خلال غشاء سلول گلبول قرمز می گرددند. این ترکیبات همچنین می توانند روی انتقال آنیون ها از خلال غشاء نیز تاثیر گذار بوده و میزان ورود و خروج نرمال آنها را تغییر می دهند. این ترکیبات منجر به کاهش جریان و انتشار فسفات از Seibert *et al.*, 2001;Bekatas & Ayik, 2010. به نظر می رسد ورود ترکیبات هیدروکربن های آروماتیک چند حلقه ای به خون ماهی گل خورک یا تولید فاکتورهای همولیتیک توسط آنها از طریق عوامل فوق الذکر منجر به بروز تغییر در نفوذ پذیری (قابلیت تراوایی) و در نهایت میزان تردی و قوام غشاء سلول گلبول قرمز خون ماهی گردیده است. تاکنون مطالعات کمی در زمینه استفاده از تست میزان پایداری غشاء گلبول قرمز خون ماهی به عنوان نشانگر زیستی در ارزیابی

- eruthrocyte osmotic fragility and erythrocyte membrane fatty acid profile of rainbow trout (*Oncorhynchus mykiss*) experimentally infected with *Aeromonas salmonicida*. Journal of Animal and Veterinary Advances, 9(19):2472-2476.
- Broeg K., Kohler A. and Westernhagen H.V., 2002.** Disorder and recovery of environmental health monitored by means of lysosomal stability in liver of European flounder *Platichthys flesus* L. Marine Environmental Research, 54:569–573.
- Cajaraville M.P., Bebianno M.J., Blasco J., Porte C., Sarasquete C. and Viarengo A., 2000.** The use of biomarkers to assess the impact of pollution in coastal environments of the Iberian peninsula: A practical approach. Science of the Total Environment, 247:295–311.
- Catsiki V., Hatzianestis I., Strogyloudi E., Belou O., Gogou M. and Rigas F., 2001.** Distribution of metals and organic contaminants in mussels from Thermaikos Gulf. Proceedings of the 7th International Conference on Environmental Science and Technology. vol. A Syros island, Greece, September, pp.106–113.
- Chimezie A., Ogbechea A., Palmer P., Cokera H., 2005.** Determination of polynuclear aromatic hydrocarbons in marine samples of Siokolo Fishing Settlement. Journal of Chromatography A, 1073:323–330.
- Dailianis S., Domouhtsidou G.P., Raftopoulou E., Kaloyianni M. and Dimitriadis V.K., 2003.** Evaluation of neutral red retention assay, micronucleus test, acetylcholinesterase activity and a signal transduction molecule (cAMP) in tissues of *Mytilus galloprovincialis* (L.), in pollution monitoring. Marine Environmental Research, 56:443–470.
- D.W.T. Au., 2004.** The application of histopathological biomarkers in marine pollution monitoring: A review. Marine Pollution Bulletin 48:817–834.
- Einsporn S., Broeg K. and Köhler A., 2005.** Toxic effects of transported contaminants in flatfish and mussel of the Wadden Sea. Marine Pollution Bulltein, 50:423–429.
- Galloway T.S., Sanger R.C., Smith K.L., Fillmann G., Readman J.W., Ford T.E. and Depledge M.H., 2002.** Rapid assessment of marine pollution using multiple biomarkers and chemical immunoassays. Environmental Science Technology, 2002, 36: 2219–2226.
- ICES., 2004.** Biological effects of contaminants: Measurements of lysosomal membrane stability. By M.N. Moore, D. Lowe and Köhler. ICES Techniques in Marine Environmental Sciences, 36:31P.
- Kohler A., Wahl E. and Soffker K., 2002.** Functional and Morphological changes of lysosomes as prognostic biomarkers of toxic liver injury in a marine flatfish (*Platichthys flesus* (L.)). Environmental Toxicology and Chemistry, 21:2434–2444.
- Lowe D.M., Moore M.N. and Evans B.M., 1992.** Contaminant impact on interactions of molecular probes with lysosomes in living hepatocytes from dab *Limanda limanda*. Marine Ecology Progress Series, 91:135–140.
- Lowe D.M., Fossato V.U. and Depledge M.H., 1995.** Contaminant induced lysosomal membrane damage in blood cells of mussels

- Mytilus galloprovincialis* from the Venicelangoon: An *in vitro* study. *Marine Ecology Progress Series*, 129:189–196.
- Martínez-Gómez C., Valdés J. and Benedicto J., 2006.** Lysosomal membrane stability in blue mussels as a tool in biomonitoring networks: Results of the Iberian Mediterranean coast (2002-2004). *Marine Environmental Research* 62:S1-S456. S360-S410. ISSN:0141-1136.
- Meador J.P., Stein J.E., Reichert W.L. and Varanasi U., 1995.** Bioaccumulation of polycyclic aromatic hydrocarbons by marine organisms. *Reviews of Environmental and Contamination Toxicology*, 143:79–165.
- Moopam (Manual of oceanographic observations and pollutant analyses icoly, ogmethods), 1999.** 3rd Ed. section 6, Regional organization for the protection of the marine environment (ROPME). Kuwait.
- Moore M.N., Allen J.I. and McVeigh A., 2006a.** Environmental prognostics: an integrated model supporting lysosomal stress responses as predictive biomarkers of animal health status. *Mar. Environ. Res.* In press.
- Pandey S., Parvez S., Sayeed I., Haque R., Bin-Hafeez B. and Raisuddin S., 2003.** Biomarkers of oxidative stress: A comparative study of river Yamuna fish *Wallagoattu* (Bl. & Schn.). *Science of the Total Environment*, 309:105-115.
- Perugini M., Visciano P., Giammarino A., Manera M. and Nardo W.D., 2007.** Polycyclic aromatic hydrocarbons in marine organisms from the Adriatic Sea, Italy. *Chemosphere*. 66:1904-1910.
- Polgar G., 2010.** The mudskipper, world wide web electronic publication, [www.mudskipper.it](http://www.mudskipper.it)
- Rodrigues H.G., Penha-Silva N., Pereira de Araujo M.F., Nishijo H. and Aversi-Ferreira T.A., 2011.** Effects of Roundup® Pesticide on the Stability of Human Erythrocyte Membranes and Micronuclei Frequency in Bone Marrow Cells of Swiss Mice. *The Open Biology Journal*, 4:54-59.
- Seibert C.S., Guerra-Shinohara E.M., Gomes de Carvalho E. and Marques E.E., 2001.** Red blood cell parameters and osmotic fragility curve of *Collossoma macropomum* (Pisces, Osteichthyes, Mileinae) in captivity. *Maringá*, 23(2) pp.515-520.
- Sikkema J., De Bont J.A.M. and Poolman B., 1995.** Mechanisms of Membrane Toxicity of Hydrocarbons. *Microbiological Reviews*, pp.201–222.
- Sinaie M., Darvish Bastami K., Ghorbanpour M., Najafzadeh H., Shekari M. and Haghparast S., 2010.** Metallothionein biosynthesis as a detoxification mechanism in mercury exposure in fish, spotted scat (*Scatophagus argus*). *Fish Physiology and Biochemistry*, 36(4):1235-42.
- Schiedek D., Broeg K., Barsiene J., Lehtonen K.K., Gercken J., Pfeifer S., Vuontisjärvi H., Vuorinen P. J., Köhler A., Balk L. and Schneider R., 2006.** Biomarker responses and indication of contaminant effects in blue mussel (*Mytilus edulis*) and eelpout (*Zoarces viviparus*) from the western Baltic Sea. *Marine Pollution Bulletin*, 53:387–405.
- Tolosa I., Stephen J., de Mora, Scott W., F., V. Jean-Pierre, Bartocci. J. and Cattini C., 2005.** Aliphatic and aromatic hydrocarbons in marine

biota and coastal sediments from the Gulf and the Gulf of Oman. *Marine Pollution Bulletin*, 50:1619–1633.

**UNEP/RAMOGE, 1999.** Manual on the biomarkers recommended for the MED POL biomonitoring programme. UNEP. Athens. pp.1-92.

**Wedderburn J., McFadzen L., Sanger R.C., Beesley A., Heath C., Hornsby M. and Lowe D., 2000.** The field application of cellular and physiological biomarkers, in the mussel *Mytilus edulis*, in conjunction with early life stage bioassays and adult histopathology. *Marine Pollution Bulltein*, 40:257–267.

Archive of SID

## Evaluation of lysosomal stability and red blood cell membrane fragility in mudskipper (*Boleophthalmus dussumieri*) as a biomarker of poly aromatic hydrocarbons

Mahmood S.<sup>(1)\*</sup>; Eghtesadi Araghi P.<sup>(2)</sup>; Mashinchian A.<sup>(3)</sup>; Fatemi M.R.<sup>(4)</sup> and Riazi G.H.<sup>(5)</sup>

oceanography.sina@gmail.com

1,4-Department of marine biology, Science and research branch, Islamic Azad University, Tehran, Iran

2-Iranian National Institute for Oceanography (INIO), Tehran, 1411813389, Iran

3-Department of marine chemistry, Science and research branch, Islamic Azad University, Tehran, Iran

5-Institute of biochemistry and biophysics, university of Tehran, Iran

Received: July 2012

Accepted: July 2013

**Keywords:** Oil polutioan, Persian Gulf, Gobiidae,

### Abstract

This research was carried out to study some physiological responses of mudskipper (i.e., *Boleophthalmus dussumieri*) as a biomarker Poly Aromatic Hydrocarbons (PAHs). Fish specimens were obtained 5 stations (Arvand, Jafari, Zangi, Samayeli, Bahrakan) along north western coast of the Persian Gulf (Khuzestan Coast). PAHs concentration was measured by HPLC method. Lysosomal membrane change was measured by NRR time method and stability of red blood cell membrane was evaluated by EOF test. Total PAH concentrations in the sediments and the liver tissue ranged between 113.50-3384.34 ng g<sup>-1</sup>dw, 3.99-46.64ng g<sup>-1</sup> dw, respectively. Highest PAHs pollution was found at Jafari while the lowest was detected at Bahrakan, with significant between these 2 stations. Values of mean RT of the dye ranged from 34 (for the blood samples of mudskipper collected from Jafari site) to 78 minutes (for the blood samples of mudskipper collected from Bahrakan). Preliminary results showed a significant difference among stations except between Arvand and Zangi. Osmotic fragility curves indicated that erythrocytes collected from mudskippers at Jafari were the most fragile followed by Zangi> Arvand> Samayeli> and Bahrakan. The results suggest that lysosomal membrane change and red blood cell membrane stability in *B. dussumieri* could be extended as a biomarker of oil pollution in marine biomonitoring programs.

\*Corresponding author